

## مقایسه رفتار هیدرودینامیکی جریان عبوری از سرریزهای کلید پیانویی نوع A، B و C

بهزاد نوروزی<sup>۱\*</sup>

جلال بازرگان<sup>۲</sup>

### چکیده

سرریز کلید پیانویی نوع جدیدی از سازه هیدرولیکی هستند که در سال‌های اخیر مورد توجه طراحان این نوع سازه‌ها قرار گرفته‌اند. تاکنون درک محدودی از تأثیر پارامترهای مختلف هندسی سرریز کلید پیانویی بر روی رفتار هیدرولیکی آن‌ها به دست آمده است. در پژوهش حاضر با استفاده از نرم‌افزار FLOW-3D جریان ماندگار به صورت سه بعدی بر روی انواع سرریزهای کلید پیانویی A، B و C تحلیل عددی شده است. پس از صحت‌سنجی با داده‌های آزمایشگاهی، الگوی سه بعدی جریان بر روی انواع سرریزهای کلید پیانویی A، B و C بررسی شده و ضمن ارزیابی هیدرودینامیکی جریان، علل تفاوت رفتار جریان به ازای هندسه‌های متفاوت تبیین گشته است. نتایج حاصله در پژوهش حاضر نشان می‌دهد که محیط تر در سرریز کلید پیانویی نوع B نسبت به انواع A و C بیشتر بوده و لذا سرعت جریان نزدیک به سرریز در این نوع سرریز نسبت به دو نوع دیگر کمتر شده که همین امر منجر به توزیع یکنواخت‌تر جریان بر روی بخش‌های مختلف کلید خروجی گردیده و به تبع آن باعث کاهش استغراق موضعی و افزایش درصد خروجی از تاج کلید خروجی و در نهایت منتج به افزایش کل دبی خروجی و ضریب دبی سرریز نوع B نسبت به انواع A و C می‌گردد.

### واژه‌های کلیدی:

سرریز کلید پیانویی، استغراق موضعی، ضریب دبی، خطوط جریان، پروفیل سطح آب.

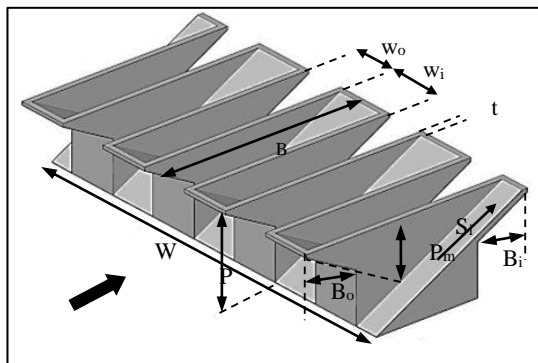
۱. دانشجوی دکتری سازه‌های هیدرولیکی، دانشکده فنی و مهندسی، دانشگاه زنجان noroozibehzad@gmail.com

۲. دانشیار مهندسی عمران-سازه‌های هیدرولیکی، دانشکده فنی و مهندسی، دانشگاه زنجان jbazargan@znu.ac.ir



مقدمه

هندسه استاندارد سرریز کلید پیانویی توسط پارلانگ<sup>۹</sup> و همکاران (۲۰۱۱) تعریف شده است. در شکل (۱) نمای سه‌بعدی از این نوع سرریز به همراه پارامترهای معرف هندسی نشان داده شده است. در این شکل  $W_o$  و  $W_i$  به ترتیب بیانگر عرض کلیدهای ورودی و خروجی بوده و  $B_i$  و  $B_o$  به ترتیب طول کنسول‌های بالادست و پایین‌دست سرریز می‌باشند.  $B$  طول تاج کناری بوده و  $P$  ارتفاع کل سرریز است.  $B_o$ ,  $B_i$  و  $T$  ارتفاع کلید، عرض فونداسیون و ضخامت دیواره می‌باشد. با توجه به شکل، برخلاف سرریزهای کنگره‌ای، کف دهانه‌های سیکل‌های ورودی و خروجی (کلیدها) شیب‌دار به سمت داخل و خارج می‌باشند. علاوه بر آن، در بالادست و پایین‌دست ضمن خالی نمودن زیر کلیدها، بخش‌هایی تحت عنوان کنسول<sup>۱۰</sup> بالادست و پایین‌دست ایجاد شده است (اندرسون و تولیس<sup>۱۱</sup> ۲۰۱۲). اجرای این نوع سرریزها نسبت به سرریزهای کنگره‌ای فضای کمتری نیاز داشته و لذا فونداسیون این نوع سرریزها می‌تواند ابعاد کوچکتری داشته باشد به نحوی که این مزیت باعث شده است تا بتوان از این نوع سرریز در تاج سدهای بتنی نیز استفاده نمود (اشلاز ۲۰۰۷).



شکل (۱): پارامترهای هندسی سرریز کلید پیانویی

سرریزهای کنگره‌ای دارای دیواره‌های قائم بوده و به واسطه برخورد جریان (مخصوصاً جریان‌های تحتانی) به دیواره‌ها و شکل‌گیری نواحی چرخشی باعث افت انرژی و در نتیجه کاهش کارایی هیدرولیکی سرریز می‌شوند (صفرزاده و نوروزی، ۱۳۹۲-۱) از دیدگاه اقتصادی نیاز به حجم بتن ریزی بالایی داشته و علاوه بر آن سطح فونداسیون بالایی

کارایی هیدرولیکی سرریزهای ریزشی آزاد به ازای یک هد ثابت، ارتباط مستقیم با طول سرریز<sup>۱</sup> دارد. سرریزها با توجه به شکل پلان به دودسته کلی سرریزهای خطی و غیرخطی تقسیم‌بندی می‌شوند. سرریزهای غیرخطی نظیر سرریزهای انحنادار در پلان و یا سرریزهای کنگره‌ای<sup>۲</sup> ضمن افزایش طول عبوری جریان، باعث افزایش ظرفیت آبگذری سازه می‌شوند. سرریزهای کنگره‌ای به صورت سری زیگزاکی از سرریزهای خطی می‌باشند که در یک عرض ثابت، طبق رابطه زیر باوجود داشتن ضریب دبی ( $C_d$ ) کمتر، حاصل‌ضرب طول و ضریب دبی ( $C_d L_t$ ) در آن‌ها بزرگ‌تر از سرریزهای خطی بوده و عملکرد هیدرولیکی در حد سه تا چهار برابر بیشتر نسبت به سرریزهای خطی دارند (تولیس<sup>۳</sup> و همکاران ۲۰۰۷):

$$Q = \frac{2}{3} C_d L_t \sqrt{2g} H_t^{1.5} \quad (1)$$

در رابطه فوق،  $Q$  دبی عبوری از سرریز بوده و  $H_t$ ،  $L_t$ ،  $C_d$  و  $H_t$  به ترتیب بیانگر ضریب دبی، طول تاج توسعه‌یافته و هد کل (مجموع هد سرعت و هد هیدرواستاتیکی) بر روی سرریز می‌باشند. با توجه به افزایش دبی سیلاب و نگرانی در خصوص ایمنی سدهای موجود، جهت بهبود عملکرد هیدرولیکی تعداد زیادی از سرریز سدهای موجود در جهان نیاز به بازبینی و بازسازی دارند (لاوگیر<sup>۴</sup> ۲۰۰۷، لاوگیر و همکاران ۲۰۰۹ و ریبیریو<sup>۵</sup> ۲۰۰۹). یکی از معایب سرریزهای متداول، ظرفیت تخلیه پایین آن‌ها به واسطه محدودیت عرض موجود برای اجرای این نوع سرریزها هست. یکی از راهکارهای حل این مشکل، استفاده از سرریز با تاج غیرخطی و افزایش طول عبوری جریان است. شکل جدیدی از سرریزهای غیرخطی سرریزهای کلید پیانویی هستند که توسط موسسه هیدرورکوپ<sup>۶</sup> فرانسه فرانسه و آزمایشگاه هیدرولیک و محیط‌زیست دانشگاه بریسکا<sup>۷</sup> الجزایر ارائه شده است (اشلاز<sup>۸</sup> ۲۰۰۷).

<sup>1</sup> Weir

<sup>2</sup> Labyrinth

<sup>3</sup> Tullis

<sup>4</sup> Laugier

<sup>5</sup> Ribério

<sup>6</sup> Hydrocoop

<sup>7</sup> Biskra

<sup>8</sup> Schleiss

<sup>9</sup> Pralong

<sup>10</sup> Overhang

<sup>11</sup> Anderson and Tullis

نیاز دارند که در شرایط محدود بودن محل نصب (نظیر تاج سدهای بتنی و یا کانال کم‌عرض) استفاده از این نوع سرریزها با مشکل مواجه می‌شود (اندرسون و تولیس<sup>۱</sup> ۲۰۱۲). لمپریه و اومانی<sup>۲</sup> (۲۰۰۳) نخستین بار مطالعه بر روی سرریزهای نوع A و B را انجام و معیار طراحی آن را ارائه کردند. اومانی و لمپریه (۲۰۰۶) مطالعات سال ۲۰۰۳ خود را به ازای پارامترهای مختلف بی‌بعد گسترش دادند. نتایج حاصل از بررسی آن‌ها حاکی از ارتباط بین طول تاج توسعه‌یافته L و عرض W سرریز دارد. لمپریه و همکاران (۲۰۱۱) انواع مختلفی از سرریزهای کلید پیانویی که از سال ۱۹۹۸ توسط موسسه هیدروکروپ مورد مطالعه قرار گرفته بود را بر اساس هندسه کنسول سرریزهای کلید پیانویی به ۴ نوع تقسیم کردند:

نوع A: کنسول‌ها به صورت متقارن هست.  
 نوع B: کنسول فقط به سمت بالادست هست.  
 نوع C: کنسول فقط به سمت بالادست هست.  
 نوع D: بدون کنسول.

میشلز<sup>۳</sup> و همکاران (۲۰۱۱) ویژگی‌های جریان بر روی سرریز کلید پیانویی نوع A را تجزیه و تحلیل کردند. آن‌ها مشاهده کردند که در طول کلید ورودی یک مقطع بحرانی ایجاد می‌شود که بر ظرفیت هیدرولیکی سرریز تأثیر منفی دارد. برای جلوگیری از ایجاد این مقطع کنترل و بهبود ظرفیت هیدرولیکی سرریز، آن‌ها بهینه کردن هندسه سرریز با استفاده از افزایش عرض ورودی، ارتفاع سرریز یا طول کنسول بالادست را پیشنهاد کردند. اندرسون و تولیس (۲۰۱۱) با مقایسه سرریز کلید پیانویی نوع A و D تأکید کردند که وجود کنسول به حالت فرورفته تأثیر مثبتی بر افزایش ظرفیت سرریز دارد. اولین سرریز کلید پیانویی در سال ۲۰۰۶ بر روی سد گلورس<sup>۴</sup> در کشور فرانسه اجرا شده است (لاوگیر<sup>۵</sup> ۲۰۰۷). بعد از طی سال‌های ۲۰۰۸ تا ۲۰۱۰ برای بهبود عملکرد تخلیه سیلاب سدهای مختلفی نظیر سنت‌مارک<sup>۶</sup>، اترویت<sup>۶</sup>، گلوریتس<sup>۷</sup> نیز از

سرریزهای کلید پیانویی استفاده شد. صفرزاده و نوروزی (۱۳۹۲-۱) با مطالعه هیدرودینامیک سه‌بعدی جریان عبوری از سرریزهای کلید پیانویی، کنگره‌ای و کنگره‌ای با کلیدهای شیب‌دار نشان دادند که در سرریزهای کلید پیانویی به واسطه حذف فشردگی جریان در بخش‌های ورودی و همچنین توزیع بهتر جریان بر روی بخش‌های مختلف سرریز، ضریب آبگذری بالاتر از دو نوع دیگر است. تأثیر دیواره جان‌پناه<sup>۸</sup> و شکل پشت‌بند نیز توسط محققین مزبور مطالعه شده است (صفرزاده و نوروزی، ۱۳۹۲-۲ و ۱۳۹۳-۱). صفرزاده و نوروزی در سال ۲۰۱۵ با استفاده از مدل عددی سه‌بعدی، ساختار جریان بر روی سرریزهای کلید پیانویی دوزنقه‌ای را مطالعه نموده و به بهبود قابل‌ملاحظه در ضریب دبی این نوع سرریزها در سرریزهای کلید پیانویی مستطیلی و کنگره‌ای اشاره نموده‌اند. در تحقیق مزبور به اهمیت تاج کناری بر عملکرد هیدرولیکی سرریز تأکید شده است. با توجه به اینکه پارامتر تأثیرگذار و متمایزکننده سرریز کلید پیانویی از سرریز کنگره‌ای حالت کنسولی و نیز کوچک‌تر بودن خط اثر فونداسیون سرریز کلید پیانویی نسبت به سرریز کنگره‌ای هست و به دلیل اینکه این پارامتر اصلی در سرریز کلید پیانویی نوع D وجود ندارد و در حقیقت می‌توان گفت سرریز نوع D یک نوع سرریز کنگره‌ای با دهانه‌های شیب‌دار هست لذا در حالت کلی می‌توان سرریز کلید پیانویی را بر اساس موقعیت قرارگیری کنسول‌های آن به سه نوع A، B و C تقسیم‌بندی کرد. با توجه به اینکه اکثر مطالعات گذشته بر روی سرریز نوع A انجام گرفته است باین‌وجود دلایل هیدرولیکی و هیدرودینامیکی جامعی در خصوص علت استفاده از این نوع از سرریز کلید پیانویی در دست نمی‌باشد. در این تحقیق، با مقایسه رفتار جریان عبوری از سرریزهای کلید پیانویی نوع A، B و C که با استفاده از نرم‌افزار FLOW-3D شبیه‌سازی عددی شده، ضمن مطالعه الگوی جریان و هیدرودینامیک جریان عبوری، روند تغییرات ضریب دبی به ازای نسبت‌های مختلف هد به ارتفاع سرریز برای هر کدام از سرریزهای مذکور محاسبه می‌گردد.

نوع A: کنسول‌ها به صورت متقارن هست.  
 نوع B: کنسول فقط به سمت بالادست هست.  
 نوع C: کنسول فقط به سمت بالادست هست.  
 نوع D: بدون کنسول.

میشلز<sup>۳</sup> و همکاران (۲۰۱۱) ویژگی‌های جریان بر روی سرریز کلید پیانویی نوع A را تجزیه و تحلیل کردند. آن‌ها مشاهده کردند که در طول کلید ورودی یک مقطع بحرانی ایجاد می‌شود که بر ظرفیت هیدرولیکی سرریز تأثیر منفی دارد. برای جلوگیری از ایجاد این مقطع کنترل و بهبود ظرفیت هیدرولیکی سرریز، آن‌ها بهینه کردن هندسه سرریز با استفاده از افزایش عرض ورودی، ارتفاع سرریز یا طول کنسول بالادست را پیشنهاد کردند. اندرسون و تولیس (۲۰۱۱) با مقایسه سرریز کلید پیانویی نوع A و D تأکید کردند که وجود کنسول به حالت فرورفته تأثیر مثبتی بر افزایش ظرفیت سرریز دارد. اولین سرریز کلید پیانویی در سال ۲۰۰۶ بر روی سد گلورس<sup>۴</sup> در کشور فرانسه اجرا شده است (لاوگیر<sup>۵</sup> ۲۰۰۷). بعد از طی سال‌های ۲۰۰۸ تا ۲۰۱۰ برای بهبود عملکرد تخلیه سیلاب سدهای مختلفی نظیر سنت‌مارک<sup>۶</sup>، اترویت<sup>۶</sup>، گلوریتس<sup>۷</sup> نیز از

<sup>1</sup> Anderson and Tullis

<sup>2</sup> Lempérière and Ouamane

<sup>3</sup> Machiels

<sup>4</sup> Golours

<sup>5</sup> St. Marc

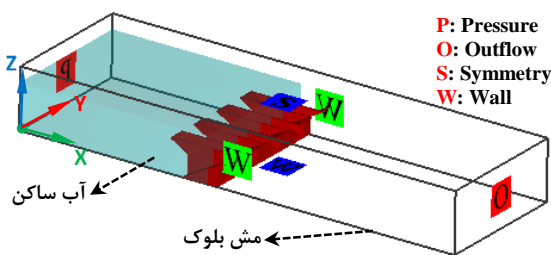
<sup>6</sup> Etroit

<sup>7</sup> Gloriettes

<sup>8</sup> Parapet wall

T	ضخامت دیواره سرریز	۱/۲۷
N	تعداد سیکل‌ها	۴

برای مدل‌سازی عددی از یک بلوک محاسباتی با شبکه بندی کارترین غیریکنواخت استفاده شده است. شرایط مرزی مورد استفاده بر روی وجوه مختلف بلوک محاسباتی در شکل (۲) نمایش داده شده است. در وجه بالادست ضمن استفاده از شرط مرزی فشار (Pressure)، هد آب مورد نظر به ورودی میدان اعمال شده و با اعمال شرط مرزی خروجی (Outflow) به انتهای پایین دست بلوک محاسباتی، دبی خروجی از میدان به ازای هد اعمالی در ورودی محاسبه می‌شود. مرز بالای میدان از نوع تقارن بوده (Symmetry) و برای مرزهای کناری و کف بلوک از شرط مرزی دیواره (Wall) استفاده شده است. به عنوان شرط اولیه، یک ستون آب ساکن با جزء حجم برابر با یک (VOF=1) در داخل میدان در نظر گرفته شد. شایان ذکر است با توجه به اینکه مدل آزمایشگاهی سرریزها از پلکسی گلاس<sup>۱</sup> ساخته شده و کف و جداره‌های کانال نیز کاملاً صاف بوده است. به همین علت، در مدل عددی نیز بدنه سرریز و جداره‌های کانال کاملاً صاف در نظر گرفته شده است. علاوه بر آن با توجه به اینکه طول کانال بالادست تا محل سرریز کوتاه است، افت اصطکاکی بسیار ناچیز خواهد بود.



شکل (۲): هندسه سرریز کلید پیاپویی و شرایط مرزی

به منظور آنالیز حساسیت شبکه محاسباتی و انتخاب شبکه بندی بهینه، ابتدا مطابق شکل (۳) شبکه محاسباتی مناسب از نظر شناخت کامل هندسه انتخاب و سپس مدل‌سازی عددی به ازای  $H/P=0.4$  به ازای شبکه بندی های ریزتر از آن انجام شد که بر اساس نتایج حاصله مطابق جدول (۲) از یک مقدار به بعد با افزایش تعداد سلول‌های محاسباتی تغییری در نتایج دبی خروجی که به عنوان معیار انتخاب شده بود، مشاهده نگردید و بنابراین بلوک

<sup>1</sup> Plexiglass

## تئوری شبیه‌سازی عددی

در این مقاله از نرم‌افزار FLOW-3D برای شبیه‌سازی عددی استفاده شده است. معادلات حاکم بر مسئله مورد نظر، معادلات بقای جرم و اندازه حرکت می‌باشند. این معادلات در جریان‌های دوفازی در سیستم مختصات کارترین  $(x_i)$  با مؤلفه‌های سرعت  $(u_i)$  و  $i=1,2,3$  به صورت زیر بیان می‌شوند.

$$V_F \frac{\delta \rho}{\delta t} + \frac{\delta}{\delta x} (\rho u_i A_i) = 0 \quad (3)$$

$$\frac{\delta u_i}{\delta t} + \frac{1}{V_F} \left\{ u_j A_j \frac{\delta u_i}{\delta x_j} \right\} = -\frac{1}{\rho} \frac{\delta p}{\delta x_i} + G_i + f_i \quad (4)$$

در این معادلات،  $\rho$  چگالی آب،  $V_F$  جزء حجم باز برای برقراری جریان در الگوریتم FAVOR و  $A_i$  جزء سطح باز برای برقراری جریان در جهت  $i$  ام است. در معادلات بقای اندازه حرکت،  $P$  بیان گر فشار بوده و  $(G_i)$  و  $(f_i)$  به ترتیب بیان گر مؤلفه‌های شتاب کالبدی و شتاب ناشی از لزجت برای راستای  $i$  ام می‌باشند. شتاب لزجت شامل اثر لزجت دینامیکی سیال  $(\mu_i)$  و نیز آشفتگی جریان  $(\mu_t)$  است. برای مدل‌سازی آشفتگی در مسائل هیدرولیک، عمدتاً از مدل‌های دو معادله‌ای استفاده می‌شود. در این مقاله از مدل  $k-\epsilon$  RNG برای بیان لزجت گردابه‌ای استفاده شده است.

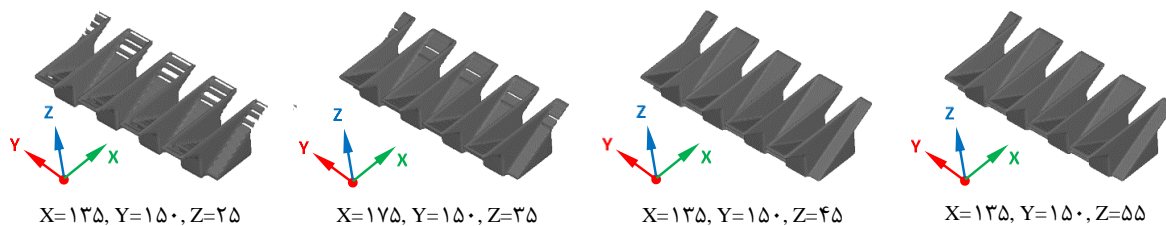
## صحت‌سنجی مدل‌سازی عددی

برای صحت‌سنجی روند مدل‌سازی و نیز حصول اطمینان از شرایط مرزی مورد استفاده در جریان ماندگار، مدل عددی سه‌بعدی متناظر با مطالعات آزمایشگاهی صورت گرفته بر روی سرریز کلید پیاپویی توسط اندرسون (۲۰۱۱) با ابعاد پارامترهای هندسی منطبق بر جدول (۱) مدل‌سازی شده است. در این جدول  $N$  تعداد سیکل سرریز است.

جدول (۱): ابعاد پارامترهای هندسی (ابعاد به سانتی‌متر)

مقدار	شرح پارامتر	پارامتر
۱۹/۶۸	ارتفاع سرریز	P
۴۷۴/۵۴	طول تاج سرریز	$L=N(W_i+W_o+2B)$
۹۳/۳۷	عرض کانال	W
۱۱/۵۶	عرض کلید ورودی	W <sub>i</sub>
۹/۲۵	عرض کلید خروجی	W <sub>o</sub>
۴۸/۹۰	عرض سرریز	B
۱۲/۱۴	طول کنسول ورودی	B <sub>i</sub>
۱۲/۱۴	طول کنسول خروجی	B <sub>o</sub>

محاسباتی با تعداد شبکه بهینه (۵۵×۱۵۰×۱۳۵) در سه امتداد (X,Y,Z) به عنوان شبکه بندی بهینه انتخاب گردید. مقدار نسبت H/P از ۰/۵ تا ۰/۸ صورت گرفته است که H بیانگر هد استاتیکی آب بر روی سرریز است.



شکل (۳): عملکرد FAVOR به ازای شبکه بندی های مختلف و کالیبراسیون شبکه بندی

معیارهای فوق با استفاده از روابط (۵) الی (۸) محاسبه می شوند:

$$MBE = \frac{\sum_{i=1}^N (h_{mi} - h_{oi})}{N} \quad (5)$$

$$MAE = \frac{\sum_{i=1}^N |h_{mi} - h_{oi}|}{N} \quad (6)$$

$$R = \frac{\text{cov}(h_m, h_o)}{\sigma(h_m)\sigma(h_o)} \quad (7)$$

$$RMSE = \sqrt{\frac{\sum_{i=1}^N (h_{mi} - h_{oi})^2}{N}} \quad (8)$$

در روابط فوق  $N$ ,  $h_m$ ,  $h_o$ ،  $\text{cov}$  و  $\sigma$  به ترتیب مقدار دبی آزمایشگاهی (مشاهداتی)، مقدار دبی مدل عددی، تعداد کل داده ها، کوواریانس و انحراف معیار هست. مقدار پارامترهای مزبور برای سرریز مورد مطالعه به ازای مقادیر آزمایشگاهی اندرسون (۲۰۱۱) و شبیه سازی عددی به ترتیب، ۰/۰۰۶۲۷، ۰/۰۰۶۴۱، ۰/۰۸۶ و ۰/۰۰۷۴ است. مقادیر کم میانگین اریبی، میانگین خطای مطلق، ضریب و مجذور میانگین مربعات خطا نشان دهنده اختلاف اندک دبی خروجی اندازه گیری شده از سرریز در مدل عددی با مقادیر آزمایشگاهی است. مقدار ۰/۸۶ ضریب همبستگی نمایانگر رابطه خطی مناسب بین مقدار دبی مدل عددی و آزمایشگاهی سرریز مورد بررسی است. نتایج حاصله مؤید عملکرد مناسب نرم افزار FLOW-3D، با شرایط مرزی، مدل آشفتگی و شبکه بندی انتخاب شده، در شبیه سازی جریان بر روی سرریزهای مورد مطالعه است. در شکل (۶) پروفیل طولی سطح آب بر روی کلید ورودی بین داده های آزمایشگاهی و نتایج مدل عددی در حالت H/P=۰/۳

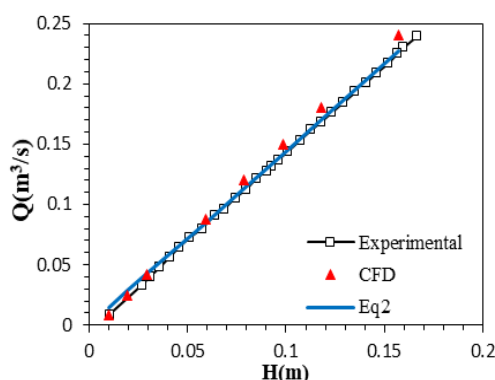
به منظور اطمینان از همگرایی حل و همچنین تثبیت کامل شرایط اعمالی به مدل، دبی خروجی از میدان و همچنین تغییرات زمانی سطح آب در ورودی مدل، در طول حل کنترل شد. بر اساس ارزیابی های صورت گرفته، زمان ۱۵ ثانیه برای همگرایی مدل و همچنین شکل گیری جریان دائمی کفایت می کند.

جدول (۲): مقادیر دبی عبوری برای شبکه بندی های

مختلف به ازای H/P=۰/۴

تعداد شبکه بندی	۱۳۵×۱۵۰×۴۵	۱۳۵×۱۵۰×۵۵	۱۳۵×۱۵۰×۶۵
دبی عبوری (m³/s)	۰/۱۱۳۳۷	۰/۱۱۳۵۱	۰/۱۱۳۵۲

در شکل (۵) مقادیر دبی پیش بینی شده با مقادیر آزمایشگاهی به ازای نسبت های مختلف H/P ارائه شده است. لازم به یادآوری است که H بیانگر هد کل جریان نزدیک شونده است.



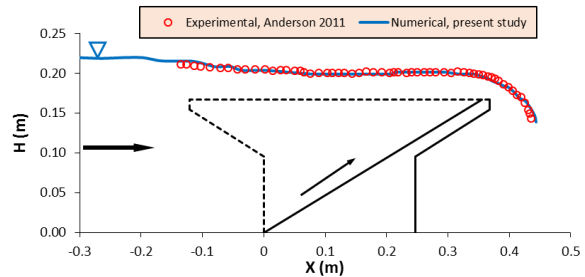
شکل (۵): دبی آزمایشگاهی و عددی سرریز کلید پیانویی به منظور مقایسه کمی نتایج مدل عددی با مقادیر آزمایشگاهی از آماره های میانگین اریبی (MBE)، میانگین خطای مطلق (MAE)، ضریب همبستگی (R) و مجذور میانگین مربعات خطا (RMSE) استفاده شده است. مقادیر

استفاده از شرط مرزی خروجی (Outflow) در مرز کف کانال ( $Z_{min}$ ) به منظور جلوگیری از تأثیر شرایط پایین دست بر عملکرد سرریزها هست. برای انفصال میدان بر اساس الگوریتم GCI، پس از آنالیز حساسیت شبکه بندی مطابق روش صحت سنجی تعداد ( $135 \times 150 \times 75$ ) سلول در سه امتداد ( $X, Y, Z$ ) به عنوان شبکه بندی بهینه انتخاب و مدل سازی عددی سرریزها به ازای ۹ مقدار  $H_i/P$  مشابه مدل صحت سنجی انجام شده است. در شکل (۹) الگوی سه بعدی جریان شبیه سازی شده بر روی سرریز کلید پیاپویی نوع A به ازای نسبت هد به ارتفاع سرریز  $0.3$  نشان داده شده است.

جدول (۳): ابعاد پارامترهای هندسی سرریزهای مورد مطالعه (ابعاد به سانتی متر)

پارامتر	APKW	BPKW	CPKW
P	۱۶/۷	۱۶/۷	۱۶/۷
$L=N(W_i+ W_o+2B)$	۴۷۴/۵۴	۴۷۴/۵۴	۴۷۴/۵۴
W	۹۳/۷۸	۹۳/۷۸	۹۳/۷۸
$W_i$	۱۱/۵۶	۱۱/۵۶	۱۱/۵۶
$W_o$	۹/۲۵	۹/۲۵	۹/۲۵
B	۴۸/۹۰	۴۸/۹۰	۴۸/۹۰
$B_i$	۱۲/۱	-	۲۴/۲
$B_o$	۱۲/۱	۲۴/۲	-
T	۱/۲۷	۱/۲۷	۱/۲۷
N	۴	۴	۴

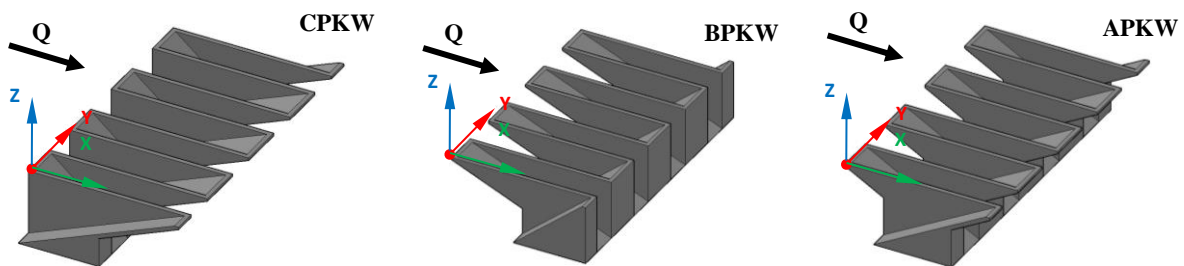
مقایسه شده است. با توجه به شکل مزبور، انطباق پروفیل های اندازه گیری شده و پیش بینی شده در بخش های مختلف سرریز مناسب بوده و نشانگر صحت مدل سازی عددی است.



شکل (۶): مقایسه پروفیل سطح آب بر روی کلید ورودی بین داده های آزمایشگاهی و مدل عددی برای  $H/P=0.3$

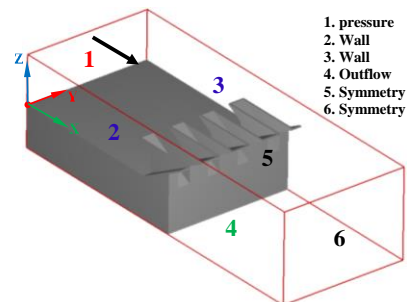
### مقایسه سرریزهای کلید پیاپویی نوع A, B و C

به منظور مقایسه عملکرد و بررسی هیدرودینامیک سرریزهای نوع A, B و C که به ترتیب APKW, BPKW و CPKW خوانده می شود، مطابق شکل (۷) مدل عددی با جزئیات هندسی متناظر با هندسه اندرسون ۲۰۱۱ ساخته شده است. ابعاد پارامترهای هندسی سرریزهای مورد مطالعه در جدول (۳) ارائه شده است. هندسه سه بعدی و شرایط مرزی مورد استفاده در مدل های عددی مورد مطالعه در شکل (۸) نشان شده است. مطابق شکل تنها تفاوت شرایط مرزی نسبت به مدل صحت سنجی شده،



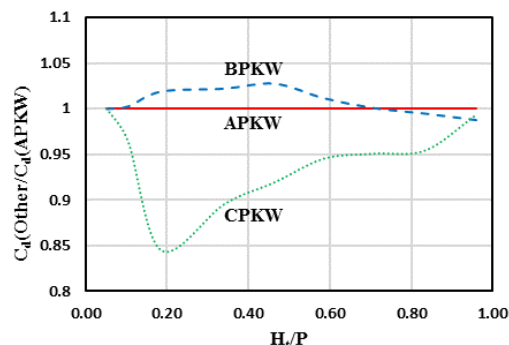
شکل (۷): شکل سه بعدی و جزئیات هندسی سرریزهای مورد مطالعه

بر اساس نتایج شبیه سازی عددی، مقدار ضریب دبی استفاده از رابطه (۱) به دست آمده و نمودار ضریب دبی در مقابل نسبت هد به ارتفاع سرریز مطابق شکل (۱۰) ترسیم شده است. با توجه به شکل، نمودار برای هر سه سرریز به ازای مقادیر  $H_i/P$  کمتر از  $0.1$  حالت صعودی داشته و از آن به بعد حالت نزولی با رفتار غیرخطی پیدا می کند.



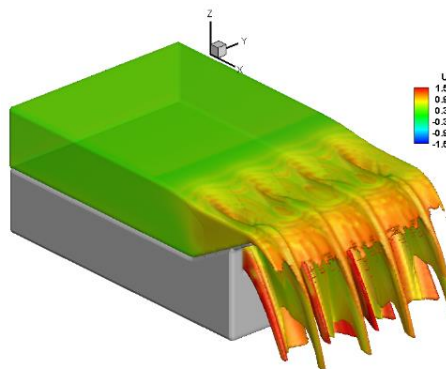
شکل (۸): هندسه سه بعدی و شرایط مرزی مدل عددی

CPKW تا مقدار  $H_t/P=0/2$  حالت نزولی داشته و از آن به بعد با افزایش هد آب به دلیل پر شدن کلید خروجی سرریزها و تأثیر استغراق موضعی، اختلاف ضریب دبی سرریزها کمتر می‌شود.



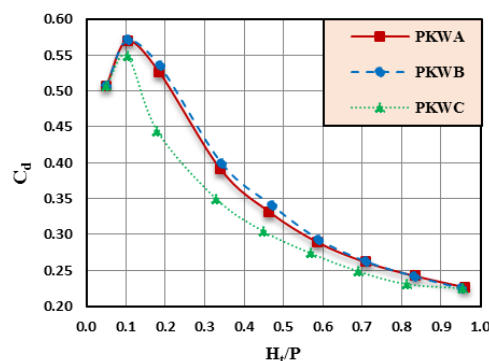
شکل (۱۱): نمودار ضریب دبی نرمال شده

به منظور تحلیل دقیق تر منحنی ضریب دبی سرریزها و نیز مقایسه هیدرودینامیک سه بعدی جریان عبوری از سرریزها، مطابق شکل (۱۲) نمونه‌های دیگر از همان سرریزها به صورت تک کلید مدل سازی شد. به جهت تعیین روند توزیع دبی در قسمت‌های مختلف سرریز از گزینه **بفل**<sup>۱</sup> نرم افزار FLOW-3D استفاده شد. در این تحقیق تعداد ۹ عدد **بفل** بر روی تاج سرریز که از ابتدای نیم کلید ورودی شروع و تا نصف کلید خروجی ادامه می‌یابد، استفاده شده و مدل برای  $H_t/P=0/4$  اجرا شده است. نحوه قرارگیری **بفل**ها بر روی تاج یکی از سرریزهای تک کلید و نیز معرفی بخش‌های مختلف آن در شکل (۱۳) نشان داده شده است. شرایط مرزی و معادلات مورد استفاده در مدل سازی تک کلیدها همانند مدل‌های قبلی بوده با این تفاوت که به دلیل کاهش عرض سرریزها به صورت تک کلید، برای مرز کناری کانال از شرط مرزی تقارن (Symmetry) و در هر سرریز از ۶۰۰۰۰ سلول محاسباتی استفاده شده است.



شکل (۹): الگوی عمومی جریان شبیه‌سازی شده بر روی سرریز کلید پیانویی نوع A به ازای  $H_t/P=0/3$

بیشترین ضریب آبگذری برای هر سه حالت به ازای هد به ارتفاع  $0/1$  رخ می‌دهد. نمودار ضریب دبی نشان می‌دهد که به ازای  $H_t/P < 0/1$  عملکرد سرریزهای کلید پیانویی نوع A و B مشابه بوده و ضریب دبی یکسانی دارند ولی سرریز نوع C ضریب دبی کمتری نسبت به دو سرریز دیگر دارد. با توجه به شکل مشاهده می‌شود که اختلاف بین سرریز APKW و سرریز BPKW در مقایسه با سرریز CPKW کمتر هست. نتایج حاصله نشان می‌دهد که تأثیر جهت کنسول در سرریزها و نیز هندسه سرریزها به جهت تأثیر روی جریان نزدیک‌شونده به سرریز حائز اهمیت هست.

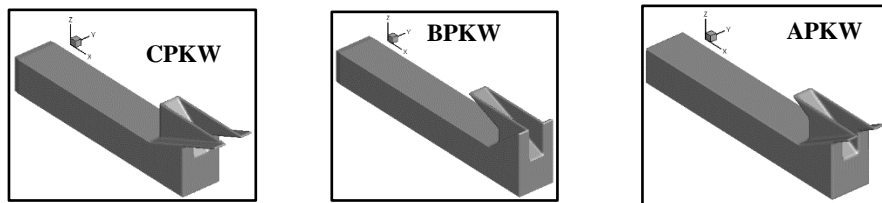


شکل (۱۰): نمودار تغییرات ضریب دبی (C<sub>d</sub>) در مقابل H<sub>t</sub>/P

در شکل (۱۱) نسبت ضریب دبی سرریزها به ضریب دبی سرریز APKW نشان داده شده است. با توجه به شکل (۱۱)، ضریب دبی سرریز BPKW تا مقدار  $H_t/P=0/45$  حالت صعودی دارد و با افزایش  $H_t/P$  حالت نزولی پیدا می‌کند به نحوی که از  $H_t/P > 0/45$  ضریب دبی آن کمتر از ضریب دبی سرریز APKW می‌گردد. با این حال با توجه به نمودار ملاحظه می‌شود که ضریب دبی سرریز APKW و BPKW اختلاف چندانی باهم ندارند. ضریب دبی سرریز

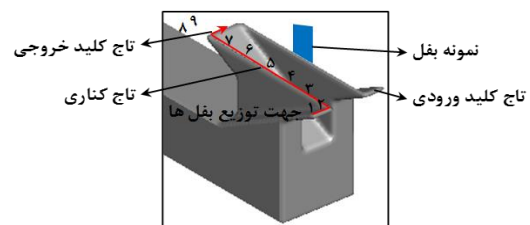
<sup>1</sup> Baffle





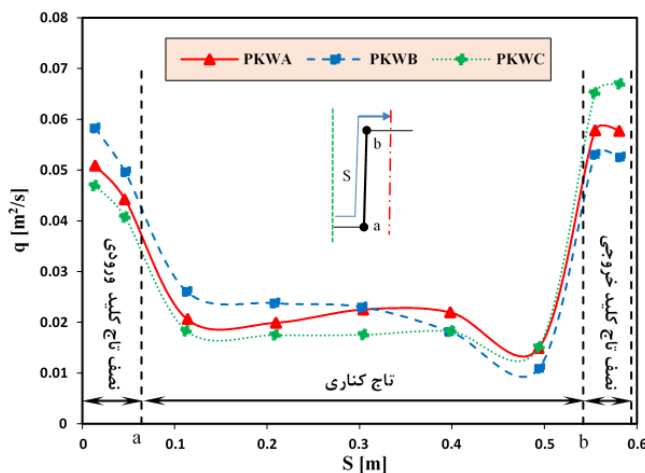
شکل (۱۲): هندسه سه بعدی سرریزهای تک کلید مورد مطالعه

تاج کناری تا نیمه تاج متصل شونده به تاج ورودی، سرریز BPKW نسبت به دو سرریز دیگر عملکرد بهتری داشته و در ادامه و در نیمه دوم تاج کناری متصل به تاج خروجی عملکرد سرریز APKW بهتر می‌شود. با نزدیک شدن به تاج خروجی مشاهده می‌شود که در نزدیکی تلاقی تاج کلید خروجی و تاج کناری عملکرد CPKW نسبت به دو سرریز دیگر بهبود می‌یابد. بررسی نمودار شکل (۱۴) نمایانگر این است که سرریزی که در محل تلاقی تاج کلید ورودی و تاج کناری عملکرد بهتری دارد و به بیان دیگر هر سرریزی که بتواند توزیع یکنواخت‌تری از جریان در این قسمت داشته باشد، عملکرد بهتری دارد.



شکل (۱۳): موقعیت قرارگیری بفل‌ها در مدل عددی

با استفاده از نتایج مدل‌های تک کلید، نمودار روند توزیع دبی در واحد عرض بر روی نصف طول تاج سه نوع سرریز مورد نظر مطابق شکل (۱۴) نشان داده شده است. با توجه به شکل مزبور، در قسمت نصف تاج ورودی عملکرد سرریز BPKW نسبت به دو سرریز دیگر بهتر می‌باشد. بر روی



شکل (۱۴): روند توزیع دبی در واحد عرض بر روی نصف تاج تک کلید از سرریزهای مورد مطالعه به ازای  $H_i/P=0/4$

مطابق جدول، با بیشتر شدن درصد توزیع جریان عبوری از بخش تاج کناری و تاج قائم کلید ورودی، دبی کل عبوری و در نتیجه ضریب دبی آن سرریز افزایش می‌یابد. با مقایسه دو سرریز APKW و BPKW مشاهده می‌شود که تقریباً درصد عبوری جریان از تاج کناری هر دو سرریز یکسان بوده و تفاوت این دو سرریز به لحاظ درصد عبوری جریان در قسمت عبوری از تاج کلید ورودی و تاج کلید خروجی هست. می‌توان نتیجه گرفت در صورت برابری درصد

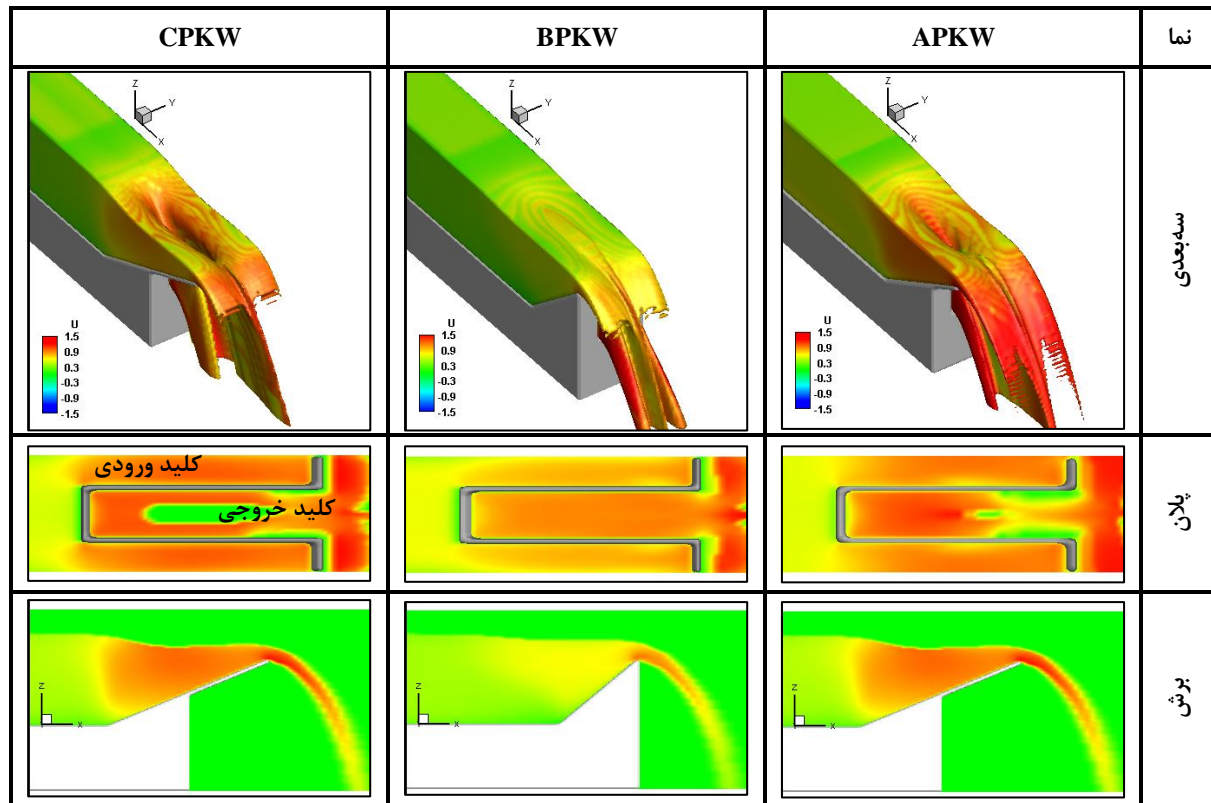
با استفاده از نتایج مدل‌سازی عددی مقادیر درصد عبوری جریان از بخش‌های مختلف تاج سرریزهای تک کلید مورد مطالعه مطابق جدول (۴) به دست آمد.

جدول (۴): مقادیر درصد عبوری جریان از بخش‌های مختلف تاج سرریزهای تک کلید به ازای  $H_i/P=0/4$

سرریز	تاج کلید ورودی	تاج کناری	تاج کلید خروجی
APKW	٪۱۹/۷۲	٪۶۱/۱۰	٪۱۹/۱۸
BPKW	٪۱۷/۶۰	٪۶۱/۲۶	٪۲۱/۱۴
CPKW	٪۲۴/۱۹	٪۵۶/۸۴	٪۱۸/۹۷

3D به نرم افزار Tecplot انتقال داده شده و خطوط جریان و پروفیل سطح آب تشکیل شده روی هر سه نوع سرریز به صورت اشکال (۱۵) تا (۱۹) ارائه شده است. شکل (۱۵) نشانگر شکل عمومی جریان عبوری از روی سرریزها به ازای  $H_t/P=0/4$  در حالت سه بعدی، پلان و نمای جانبی در بخش میانی کلید ورودی است. در این شکل سطح سیال با استفاده از مقادیر مؤلفه طولی سرعت رنگ شده

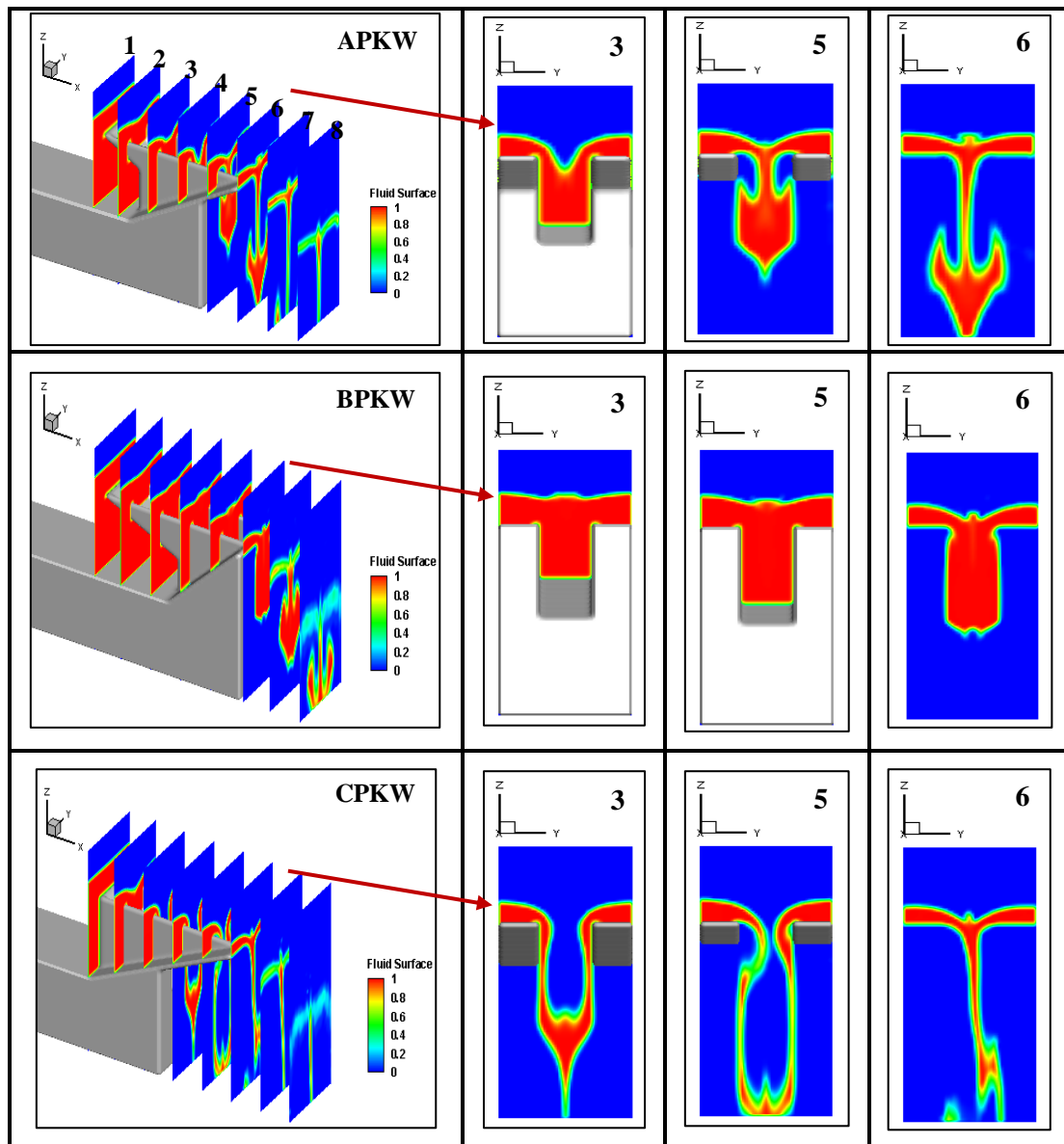
عبوری جریان از تاج کناری، هرچه درصد عبوری از تاج کلید خروجی بیشتر باشد در مجموع مقدار کل دبی عبوری از آن سرریز بیشتر خواهد بود. با توجه به اینکه تنها مقدار و کمیت جریان عبوری از بخش های مختلف نشانگر عملکرد بهتر سرریز نبوده و به منظور تحلیل بهتر نمودار شکل (۱۴) و نیز تعیین علت وجود اختلاف در عملکرد آن ها در میزان تخلیه جریان، نتایج مدل عددی حالت  $H_t/P=0/4$  از نرم افزار FLOW-



شکل (۱۵): جریان سه بعدی تشکیل شده بر روی هر سرریز به ازای  $H_t/P=0/4$

عبور دبی بیشتر جریان از کلید خروجی نسبت به دو سرریز دیگر می شود. هندسه سرریز BPKW به نحوی است که محیط تر این سرریز نسبت به دو سرریز دیگر بیشتر بوده و همین مسئله منجر به آرام شدن جریان نزدیک شونده به سرریز شده و در نتیجه باعث توزیع یکنواخت تر جریان بر روی قسمت های مختلف سرریز و بهبود عملکرد سرریز می شود.

است. با توجه به شکل مزبور، جریان نزدیک شونده به سرریز تحت تأثیر هندسه سرریز قرار دارد، به این صورت که با توجه به هندسه سرریز سرعت جریان نزدیک شونده و به تبع آن نحوه توزیع جریان در قسمت های مختلف سرریز متفاوت هست. مطابق شکل، سرعت جریان نزدیک شونده به کلید ورودی سرریز BPKW، کمتر از دو سرریز دیگر هست که همین مسئله باعث آرام شدن جریان و توزیع بهتر آن بر روی قسمت های مختلف تاج سرریز و



شکل (۱۶): پروفیل سطح آب در کلید خروجی بر روی سه نوع سرریز به ازای  $H/P=0.4$

دور شدن از تاج کلید خروجی، تخلیه جریان از قسمت‌های انتهایی تاج کناری و تاج کلید ورودی در سرریز BPKW نسبت به APKW و سرریز APKW نسبت به سرریز CPKW افزایش می‌یابد که به همان نسبت منجر به افزایش ضریب دبی سرریزها نسبت به همدیگر می‌شود.

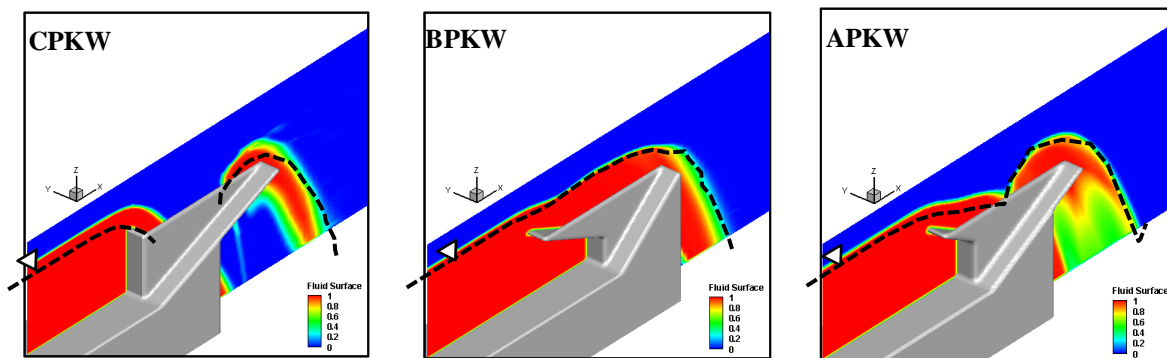
در شکل (۱۷) پروفیل سطح آب در بخش میانی کلید ورودی برای هر سه نوع سرریز نشان داده شده است. با توجه به شکل مزبور، پروفیل سطح آب در سرریز BPKW به حالت افقی نزدیک‌تر است که همین نشانگر افت کمتر انرژی جریان در این نوع سرریز و عملکرد بهتر آن است. همان‌گونه که در شکل مشاهده می‌شود، پروفیل سطح آب در سرریز CPKW به صورت دو پروفیل جداگانه در بخش

در شکل (۱۶)، پروفیل سطح آب جریان نزدیک شونده در سه نوع سرریز مورد مطالعه در مقاطع مختلف نشان داده شده است. مطابق شکل (۱۶)، پروفیل جریان تشکیل شده بر روی سرریزها نشانگر این است که سرریز BPKW نسبت به دو سرریز دیگر از ظرفیت بیشتر حجم کلید خروجی خود برای تخلیه جریان استفاده می‌کند که همین مسئله منجر به تخلیه بهتر و بیشتر جریان شده و کار آیی سرریز را بهبود می‌دهد.

بررسی روند توزیع دبی در نمودار شکل ۱۴ نمایانگر تخلیه بیشتر جریان سرریز نوع CPKW از تاج کلید خروجی و بخش کمی از تاج کناری متصل به آن دارد که این مسئله در شکل (۱۶) به خوبی قابل مشاهده هست. مطابق شکل با

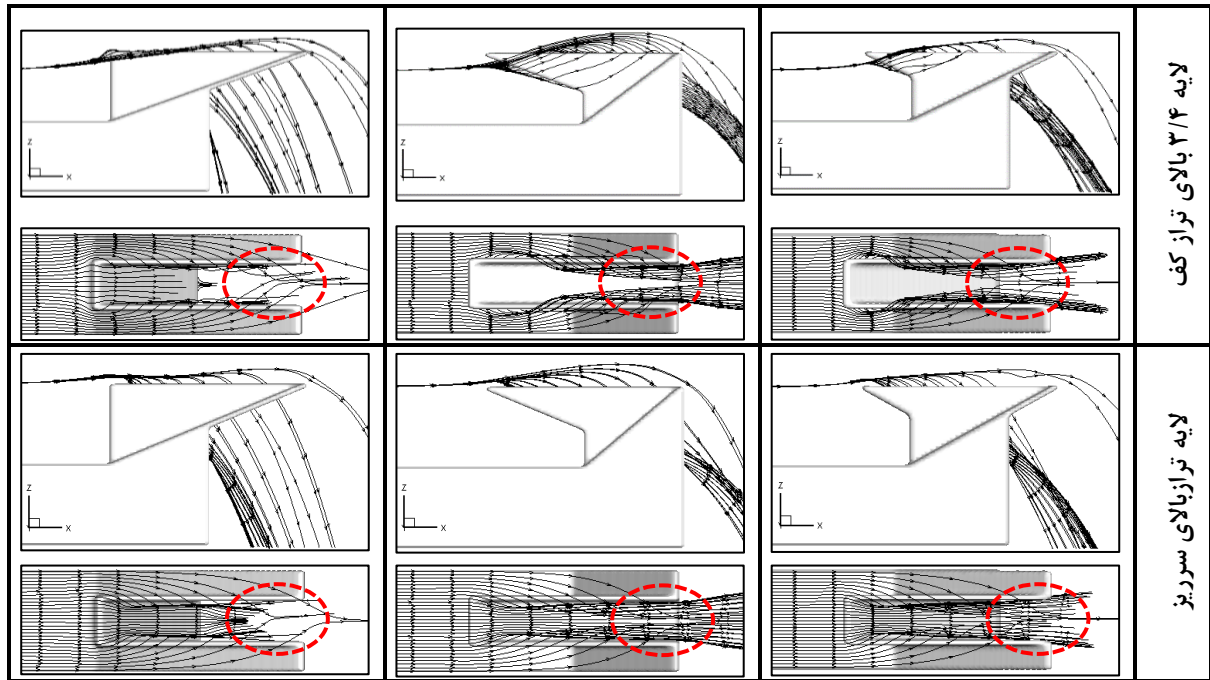
به شکل، توزیع جریان و به تبع آن توزیع خطوط جریان با تغییر تراز در سرریز BPKW نسبت به دو سرریز دیگر بهتر هست. همان گونه که در هر دو نمای پلان و برش سرریزها مشاهده می شود با تغییر تراز در سرریز BPKW خطوط جریان در بخشها مختلف تاج کلید ورودی، تاج کناری و تاج کلید خروجی به تناسب و با یکنواختی بیشتری پخش شده و حداکثر ظرفیت سرریز جهت تخلیه جریان استفاده می شود. به دلیل هندسه سرریز BPKW دبی تخلیه شده از آن نسبت به دو سرریز دیگر بیشتر هست با این وجود به دلیل عملکرد بهتر در توزیع یکنواخت تر جریان، خطوط جریان در این نوع سرریز تداخل کمتری با یکدیگر داشته و استغراق موضعی کمتر مشاهده می شود.

ابتدایی و انتهایی کلید خروجی تشکیل شده است و قسمتی میانی کلید خروجی که در مجاورت بخش میانی تاج کناری هست و تأثیر به سزایی در تخلیه جریان از کلید خروجی دارد، سهم بسیار اندکی در تخلیه جریان دارد. همین مسئله باعث تجمع و تداخل جریان خروجی و تداخل جریان های ریزشی در بخش ابتدایی و انتهایی تاج کناری شده و منجر به ایجاد استغراق موضعی در بخش انتهایی کلید خروجی می گردد. استغراق موضعی به جهت جلوگیری از تخلیه راحت تر جریان باعث افت عملکرد و کاهش ضریب دبی سرریز می گردد. به منظور بررسی دقیق تر موضوع، خطوط جریان عبوری از صفحات افقی به صورت نمای پلان و برش، در ترازهای مختلف تهیه و مطابق شکل (۱۸) ارائه شده است. با توجه



شکل (۱۷): پروفیل سطح آب در بخش میانی کلید ورودی بر روی هر سرریز به ازای  $H/P=0.4$

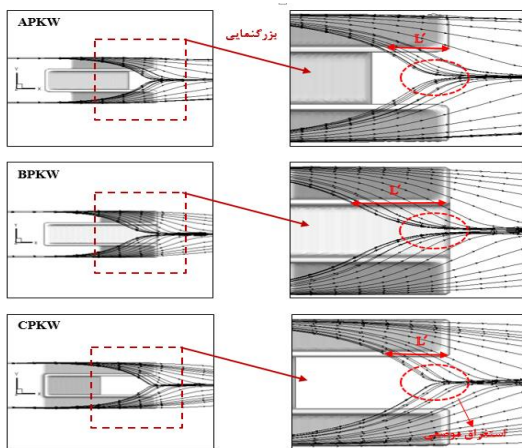
CPKW	BPKW	APKW	لايه
			لايه ۱/۴ بالاي تراز كف
			لايه ۱/۲ بالاي تراز كف



شکل (۱۸): خطوط جریان نزدیک شونده به سرریز در مقاطع مختلف ارتفاع سرریز به ازای  $H_t/P=0/4$

سرریز، نمایانگر مشارکت طول بیشتری از تاج کناری سرریز BPKW در تخلیه جریان هست که همین مسئله باعث کاهش استغراق و در نتیجه بهبود عملکرد این نوع سرریز نسبت به دو سرریز دیگر شده است.

شکل (۱۹): خطوط جریان عبوری از بخش میانی کلید ورودی



تفاوت آشکار در عملکرد سه نوع سرریز مورد مطالعه در نحوه خروج جریان از آن‌ها است. جریان عبوری از بخش میانی کلیدهای ورودی به صورت شکل (۱۹) نشان داده شده است. با توجه به شکل، در سرریز BPKW جریان رها شده از قسمت میانی کلید ورودی از صفحه قائم میانی، به سمت دیواره کناری منحرف شده و در واقع از تمرکز جریان خروجی کاسته می‌شود. عملکرد سرریز BPKW در پخش جریان بر روی لبه‌های مقابل و کناری کلید ورودی بسیار بهتر از دو سرریز دیگر است. با توجه به شکل، علاوه بر کاهش تمرکز جریان در لبه مقابل، بخش نسبتاً زیادی از جریان رها شده از بخش میانی کلید ورودی از لبه کناری کلید نیز عبور می‌کند. پدیده‌های مزبور ضمن کاهش تمرکز جریان با افزایش طول عبوری جریان باعث کاهش استغراق و افزایش ضریب دبی سرریز BPKW نسبت به دو نوع سرریز دیگر شده است. مطابق شکل (۱۹)، مقایسه طول تاج کناری مؤثر ( $L'$ ) در تخلیه جریان در سه نوع

### نتیجه‌گیری

گردید. بر اساس نتایج به دست آمده، سرریز نوع B در مقایسه با دو نوع سرریز دیگر کارایی بهتری دارد. علت این امر، افزایش محیط‌تر سرریز نوع B نسبت به دو سرریز دیگر بوده که همین مسئله منجر به آرام شدن جریان نزدیک شونده به سرریز شده و در نتیجه باعث توزیع

در این مقاله الگوی سه بعدی جریان بر روی سرریزهای کلید پیانویی نوع A, B و C واقع در کانال مدل‌سازی عددی شد. سرریزها بر اساس نوع سرریز و به ازای  $H_t/P$  های مختلف مدل‌سازی شده و ضریب دبی آن‌ها محاسبه

- 10- Leite Ribeiro, M., Bieri, M., Boillat, J.-L., Schleiss, A., Delorme, F., Laugier, F. (2009). "Hydraulic capacity improvement of existing spillways – design of piano key weirs." 23rd ICOLD Congress, Brasilia (Q90, R43), 25–29.
- 11- Lempérière, F., and Ouamane, A. (2003). "The piano keys weir: A new cost-effective solution for spillways." *The Int. J. of Hydropower and Dams*, 5(2003), 144–149.
- 12- Lempérière, F. (2009). "New Labyrinth weirs triple the spillways discharge." <<http://www.hydrocoop.org>> (Feb. 8, 2010).
- 13- Lempérière, F., Vigny, J.P., Ouamane, A. (2011). "General comments on Labyrinth and Piano Key Weirs: The past and present." *Proc. Int. Conf. Labyrinth and Piano Key Weirs Liège B*, 17–24, CRC Press, Boca Raton, FL.
- 14- Machiels, O., Erpicum, S., Archambeau, P., Dewals, B., Piroton, M. (2011). "Influence of Piano Key weir height on its discharge capacity, Proc." *Intl. Workshop on Labyrinths and Piano Key Weirs PKW 2011*, CRC Press, 59-66.
- 15- Ouamane, A., Lempérière, F. (2006). "Design of a new economic shape of weir." *Proc. Intl. Symposium on Dams in the Societies of the 21<sup>st</sup> Century*, Barcelona, Spain, 463-470.
- 16- Pralong, J., Vermeulen, J., Blancher, B., Laugier, F., Erpicum, S., Machiels, O., Piroton, M., Boillat, J.L., Leite Ribeiro, M., Schleiss, A.J. (2011). "A naming convention for the piano key weirs geometrical parameters." *Proc. Int. Conf. Labyrinth and Piano Key Weirs Liège B*, 271–278, CRC Press, Boca Raton, FL.
- 17- Riberio, M., Pfister, M., Schleiss, A.J., Boillat, J.L. (2012). "Hydraulic design of A-type Piano Key weirs." *Journal of Hydraulic Research*, 50(4), 400-408.
- 18- Roache, P.J. (1994). Perspective: "A Method for Uniform Reporting of Grid Refinement Studies." *ASME Journal of Fluids Engineering*, 116, September 1994.
- 19- Safarzadeh, A., Noroozi, B. (2015). "3D hydrodynamics of trapezoidal piano key spillways." *International Journal of Civil Engineering*, 13(6), 345-358.
- 20- Schleiss, A.J. (2007). "From Labyrinth to Piano Key Weirs – A historical review." *Hydropower & Dams*, 14 (5): 94-101.
- 21- Tullis, B.P., Young, J.C., Chandler, M.A. (2007). "Head-discharge relationships for submerged labyrinth weirs." *Journal of Hydraulic Engineering*, 133(3), 248–254.
- یکنواخت تر جریان بر روی بخش‌های مختلف تاج سرریز و کاهش استغراق موضعی و کمتر شدن تداخل جریان‌های ریزشی و به تبع آن استفاده حداکثری از حجم کلید خروجی شده، هست. با مقایسه نمودار ضریب دبی سرریزهای مورد مطالعه مشخص گردید که با بالا رفتن  $H_t/P$  به دلیل افزایش حجم خروجی جریان و در نتیجه پر شدن حجم خروجی کلید خروجی و افزایش استغراق موضعی اختلاف ضریب دبی سرریزها کاهش می‌یابد. با اینکه سرریز نوع B نسبت به سرریز نوع A کارایی بهتری دارد با این حال به دلیل متقارن بودن و اجرای راحت تر سرریز کلید پیانویی نوع A مخصوصاً در حالت پیش‌ساخته، سرریز نوع A به‌عنوان سرریز کلید پیانویی شناخته شده و بیشتر مورد بررسی و استفاده قرار می‌گیرد.
- ### مراجع
- ۱- صفرزاده، ا. نوروزی، ب. (۱۳۹۲-۱). "مقایسه هیدرودینامیک سه‌بعدی سرریزهای کلید پیانویی و کنگره‌ای مستطیلی." *کنفرانس بین‌المللی عمران، معماری و توسعه پایدار شهری، تبریز*.
- ۲- صفرزاده، ا. نوروزی، ب. (۱۳۹۲-۲). "بررسی عددی تأثیر دیوار جان‌پناه بر عملکرد هیدرولیکی سرریز کلید پیانویی." *پنجمین کنفرانس مدیریت منابع آب، دانشگاه شهید بهشتی، تهران*.
- ۳- صفرزاده، ا. نوروزی، ب. (۱۳۹۳-۱). "بررسی عددی تأثیر شکل هندسی پشت‌بند بر هیدرودینامیک سرریز کلید پیانویی." *هشتمین کنگره ملی مهندسی عمران، دانشکده مهندسی عمران، بابل*.
- ۴- صفرزاده، ا. نوروزی، ب. (۱۳۹۳-۲). "هیدرودینامیک سه‌بعدی سرریزهای کلید پیانویی انحنادار در پلان." *مجله علمی پژوهشی هیدرولیک، ۹(۳)، ۶۱-۷۹*.
- 6- Anderson, R.M., Tullis, B. (2011). "Influence of Piano Key Weir geometry on discharge." *Proc. Int. Conf. Labyrinth and Piano Key Weirs Liège B*, 75–80, CRC Press, Boca Raton, FL.
- 7- Anderson, R.M., Tullis, B.P. (2012). "Comparison of Piano Key and rectangular labyrinth weir hydraulics." *Journal of Hydraulic Engineering*, 138(4), 358-361.
- 8- Laugier, F. (2007). "Design and construction of the first Piano Key Weir (PKW) spillway at the Goulours dam." *Hydropower & Dams*, 14(5), 94-101.
- 9- Laugier, F., Lochu, A., Gille, C., Leite Ribeiro, M., Boillat, J.-L. (2009). "Design and construction of a labyrinth PKW spillway at St-Marc Dam, France." *Intl. J. Hydropower Dams* 15(5), 100–107.

## Comparing the Behavior Hydrodynamics Flow Over of Type A, B, and C Piano Key Weirs

Behzad Noroozi<sup>1</sup>  
Jalal Bazargan<sup>2</sup>

### Abstract

The piano key weir (PKW) is a new type of hydraulic structure that has been of great interest to designers in recent years. So far, there has been limited understanding of the effects of different geometrical parameters of these weirs on their hydraulic behavior. In the present study, steady flow on the types A, B, and C PKWs was studied numerically using the FLOW-3D numerical model. Upon software validation using the experimental data, the 3D flow pattern on the types A, B, and C PKWs was studied, and along with the evaluation of the flow hydrodynamics, the differences in the flow behavior for different geometries were explained. The results showed that the wetted perimeter of the type B PKW was more than that in the types A and C PKWs. Therefore, the velocity of the approaching flow to the type A PKW was less than that in the other two types, which led to a more uniform flow distribution over different parts of the output key and hence, decreased the local submergence and increased the outflow percent from the output key crest. This finally led to an increase in the total output discharge and the discharge coefficient of the type B PKW compared to types A and C PKWs.

### Keywords

Piano key weir, Local Submergence, Discharge coefficient, streamlines, water surface profile.

---

1. PhD Student of Hydraulic Structures, Faculty of Engineering, Zanjan University, noroozibehzad@gmail.com

2. Associate Professor, Department of Civil Engineering, University of Zanjan, Zanjan, Iran. Email:

jbazargan@znu.ac.ir